

名古屋港中川運河閘門土圧及び 応力等の計測調査について（第1報）

名港管理組合 竹上義雄
○鈴村巖
道家清正

1 まえがき

名古屋港管理組合は、多年関係方面から要望されていた中川口第2閘門の増設を昭和36年度より国補事業として着手した。

昭和37年度施行のこの閘門前扉室（海側）において、標記の研究調査を実施する機会が得られたので、第1報として発表する。

まだ完全に応力特性を解明し、結論を得るまでに至っていないので、引き続き計測を実施し、その結果を解析し、変遷状況、種々の条件下における応力特性などについて解明するようしたい。

2 対象構造物の概要

中川運河の内水位は、NP + 0.40mであるが、外水位は潮汐の干満（NP 0～+2.6m）により絶えず変動するから閘室に船、筏などを入れ、水位を調節して隨時通閘出来るようにしている。水位調節は、閘室の前後の閘門の開閉により行うことになる。本閘門は正扉、逆扉の二組の扉を有する、マイターゲート式であつて構造並びに計器配置概要は、図-1に示す。

この地点の地質は、少量の粘性土を混えた砂層で、-8.20～-9.80mに粘土質シルト層を挟んでいる。基礎地盤の上層は、中位の締りであるが下層はよく締つている。

3 計測調査の内容と使用した計器

(1) 閘門底面反力及び底水圧

閘門底面
接地圧と底水
圧とを、港施
5型土圧計
13個と、カ
ルソン型間隙
水圧計11個
を埋設し、計
測を行つた。

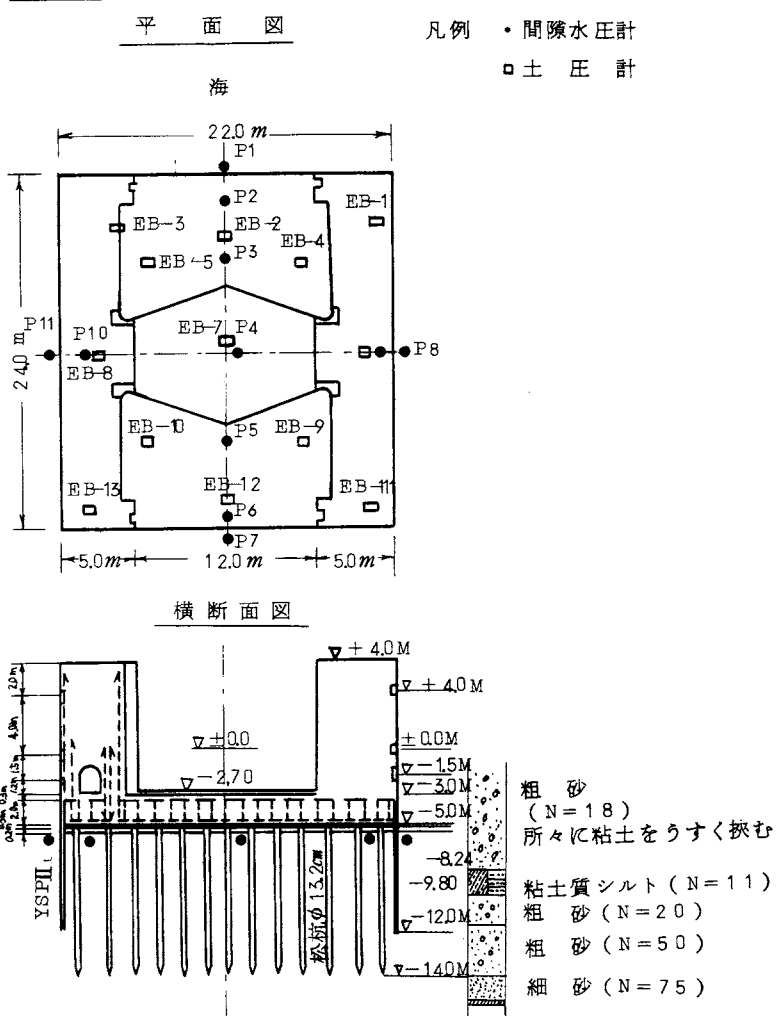
なお、これ
らから地盤と
基礎杭の分担
反力をも調査
することとし
た。

(2) 側壁土圧

側壁に作用
する土圧は、
左右両側壁の
中心線に沿つ
て、上(+4.0
m)、中(±0
m)、下(-
1.5m)の3段
に、6個の港
施5型土圧計
を取り付け、計
測した。

その他、同

図-1 構造概要及び計器配置略図



時に底版鉄骨応力、側壁鉄筋応力についても、表面ひずみ計、鉄筋応力計などにより、計測しているが、後報に譲ることにしました。

4 計測の結果と考察

(1) 底面接地圧について

土圧計にあらわれた反力は、底面反力と底水圧との和である。

表-1において、3月28日より10月12日迄の各計測値は、通水前のもので、11月1日以降が工事用仮締切を撤去し通水してからのものである。

工事中の初期（3月28日～4月26日）においては、軀体総重量などの鉛直荷重の総和より、底面接地圧（底面反力+底水圧）の総和の方が大きく計測された。これは計器埋設後応力集中が起つたものと想定し、その最大である4月26日計測時の鉛直荷重と計測接地圧との差を補正值（ $\alpha = 1.001\text{t}$ ）とし、各計測値より減じ補正接地圧としたが、なおよく検討の余地があると思われる。

表 - 1

測 年 月 日	① 軸 体 の 空 中 総 重 量 (t)	② 潮 位 (内 水 位) N.P (m)	③ 通 水 後 軸 体 (C 軸 浮 力) (t)	④ 軸 体 の 水 中 総 重 量 (t) ① - ③(t)	⑤ 実 測 底 面 接 地 圧 (t)	⑥ 補 正 底 面 接 地 圧 (t) ⑤ - ⑦(t)	⑦ 実 水 压 (t)	⑧ 盤 地 反 力 (t) ⑥ - ⑦(t)	杭 及 び 矢 板 の 総 反 力	弹性理論による 地盤と杭の反力 R_p (t) ① × Q 306	
									⑨ 通 水 前 通 水 後 通 水 後 底 面 反 力 R_e (t) ① - ⑧(t)	⑩ 杭 の 反 力 R_p (t) ① × 0.69 ① × Q 306	
58.3.28	388				1,180	1,179	69	1,110	209		
50	388				1,208	207	71	136	181		
4.24	506				1,496	495	88	407	11		
2.6	2,183				3,184	2,183	430	1,753	0		
5.30	3,823				3,856	2,855	509	2,346	968		
7.10	5,697				4,876	3,875	1,315	2,560	1,822		
7.30	6,356				5,388	4,387	1,328	3,059	1,969		
9.5	6,466				4,683	3,682	1,299	2,383	2,784		
10.12	6,466				4,979	3,978	1,232	2,746	2,488		
11.1	7,706	0.80	3,221	4,485	6,584	5,583	2,850	2,733		1,752	2,123
11.6	8,189	2.28	4,002	4,187	6,201	5,200	3,337	1,863		2,324	2,989
59.2.3	8,098	2.20	3,854	4,244	6,392	5,391	3,775	1,616		2,628	2,707
2.24	7,804	1.10	3,579	4,425	6,212	5,211	3,495	1,716		2,709	2,593
3.19	7,902	1.40	3,538	4,364	6,280	5,279	3,374	1,905		2,459	2,623
4.18	8,261	2.50	4,118	4,143	6,132	5,131	3,518	1,613		2,530	3,130
5.12	7,576	0.40	3,010	4,566	5,992	4,991	3,274	1,717		2,849	2,585
5.29	7,641	(1.65) (0.48)	3,115	4,526	6,426	5,425	3,347	2,078		2,448	2,216
6.8	7,543	0.30	2,957	4,586	6,220	5,219	2,679	2,540		2,046	2,324
6.24	7,592	(2.55) (0.45)	3,036	4,556	6,416	5,415	3,252	2,163		2,393	2,177
7.14	8,098	2.00	3,854	4,244	6,916	5,915	3,378	2,537		1,707	2,183

底面に加わる鉛直荷重は、通水前は底水圧以外に水の浮力は考えていないから、①を底水圧、地盤、杭で分担し、通水後は浮力が働くから、④は地盤と杭で分担しているが、底水圧と浮力との差も勿論両者に配分される。

杭をもつ構造物の底面に加わる荷重に対して、「港湾工事設計要覧」では、「その反力を地盤と杭に分担させず杭のみで受けさせなければならぬ」と規定を示しているが、現実には杭と地盤とはそれぞれの範囲で分担している。

本開門には、杭以外に、止水の目的で Y S P - II 型の鋼矢板が四隅に打ちめぐらせてあり、この鋼矢板も鉛直荷重に何らかの抵抗を示していることは間違いないであろう。

表-1について地盤と杭との分担は、荷重の小さい初期においては、杭の方が大きく、荷重が大きくなると地盤の方が大きくなつて行くが、通水後 16 日を経た 11 月 6 日（通水後第 2 回目の計測）以降 5 月 29 日迄の約 7 カ月間は、杭の反力が大きくなつている。

初期の現象は、本現場の地盤が砂とはいいうものの、若干の粘性土を含んでおり、土質も均一でなく、また工事中の掘削などにより地盤が乱され、底版捨コンクリートと地盤とが充分なじんでいなかつたことによるのではないかろうか。また通水後におけるこの現象は、揚水圧の影響により地盤に何らかの変化が起つたのではないかろうか。

最近までにおける杭の平均反力の割合は、約 3.2 % である。参考までに弾性理論により試算した杭の反力割合は 3.0.6 % となつた。

また計算上の杭の極限支持力は、7.072 t となり、実測値の最大は、130 t であるから、安全率は、約 2 である。

接地圧の分布は、底版の高さが 2.0 m で、剛性であり、地盤が粘性の乏しい砂層であるから、図-2 に示す如く中央で最大の応力度を示していることは、理論と一致している。

全般的には、左半分が右半分に比べて大きい値を示している。

(2) 底 水 壓

底水圧が海水浴場の大きくなつてきてているのは、揚水圧の影響が大きいあらわれであろう。全般的に外水位の高いときに大きい傾向を示している。

底水圧の分布状況は、図-3の如くで、左岸側に向つて大きくなつて傾斜している。これは地盤が均質でないことによるのではなかろうか。

(3) 側 壁 土 圧

側壁土圧の分布状態は、図-4に示す如くである。

最近の計測値からは、左右同じような傾向を示してきつつあることがうかがわれる。

全般的に計算値より大きい値を示しているが、傾向は似かよつている。

5 む す び

以上、第1報として、最近までの計測結果について、考察をしたものであるが、言をまつまでもなく、今後計測を継続し、より豊富なデータにもとづいて、諸権威の御教示を仰ぎ、諸種

図-2

底版中心線における接地圧の変遷

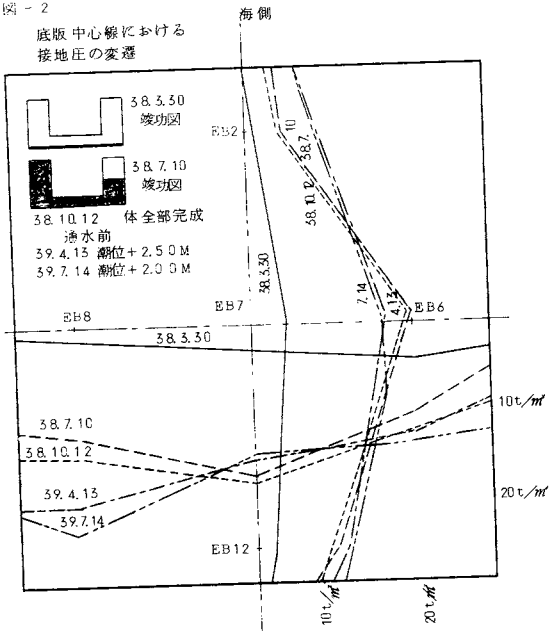
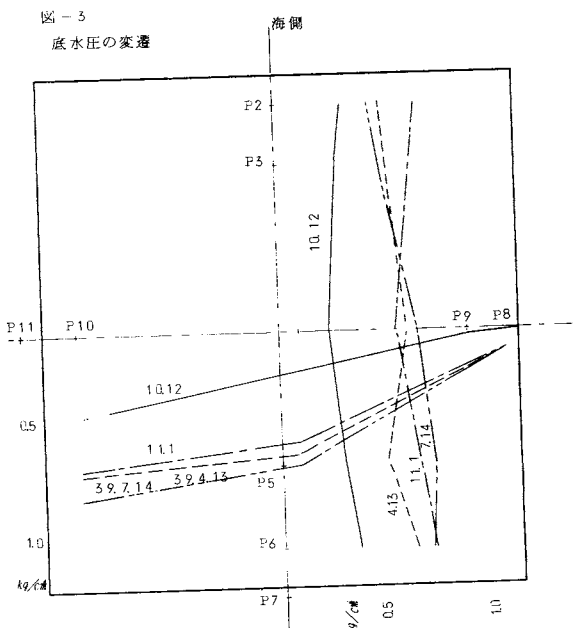


図-3

底水圧の変遷



の問題点を発明
することとした
い。

図 - 4

